

ANALIZA NUMERYCZNA PARAMETRÓW LOTU I STEROWANIA SAMOLOTU W USTALONYM RUCHU SPIRALNYM

JERZY MARYNIAK

ITLiMS Politechnika Warszawska

JĘDRZEJ TRAJER

IMRiL Akademia Rolnicza w Warszawie

1. Wstęp

W pracy przedstawiono analizę numeryczną parametrów lotu i sterowania samolotu w spirali ustalonej [1], [2], [3], [11], [12].

Spirala ustalona stanowi pewien typ ustalonego lotu okrężnego samolotu ze zmianą wysokości po trajektorii śrubowej. Ten typowo przestrzenny charakter ruchu charakteryzuje się trudnymi warunkami lotu, jak:

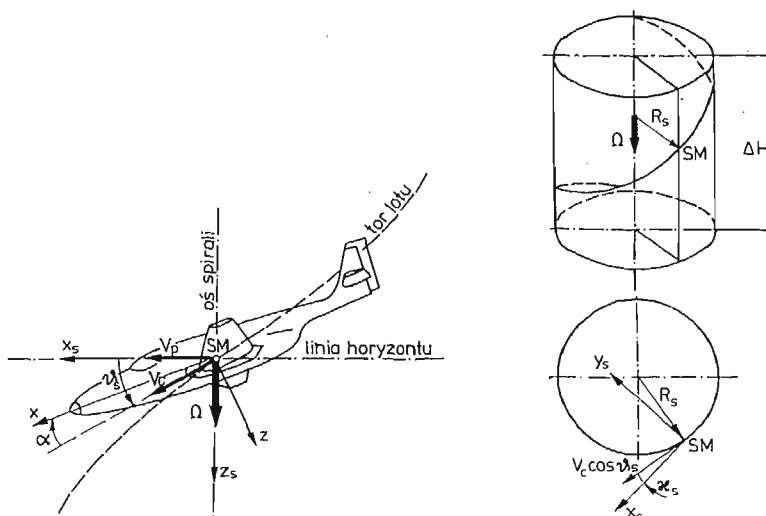
- podkrytyczne kąty natarcia na płacie,
- duże kąty ślizgu,
- konfiguracja samolotu z dużym przechyleniem,
- występowanie prędkości kątowych wokół trzech osi samolotu,
- duże przeciążenia.

W konsekwencji prowadzi to do budowy skomplikowanego modelu matematycznego zjawiska [3], [7], [8], [9], [10]. Poszukiwanymi wielkościami charakteryzującymi ruch są tu parametry lotu oraz dodatkowo niewiadome wartości kątów wychyleń powierzchni sterowych.

Względy powyższe zadecydowały, że do badania rozpatrywanego zagadnienia zastosowano model cyfrowy praktycznie jedyny możliwy sposób podejścia. Samolot traktowano jako układ mechaniczny sztywny o sześciu stopniach swobody. Przyjęto, że wychylenia powierzchni sterowych mają tylko wpływ parametryczny na wartości sił i momentów sił aerodynamicznych.

Równania ruchu ustalonego samolotu w spirali dla przyjętego modelu fizycznego wyprowadzono w oparciu o pełne równania ruchu przestrzennego samolotu [7, 8, 11]. Otrzymano układ siedmiu nieliniowych równań algebraicznych, a rozwiązanie wyznaczono dla danej wysokości lotu (punkt równowagi spirali ustalonej [4], [11]).

W pracy omówiono program i wyniki obliczeń numerycznych dla samolotu TS-11



Rys. 2. Parametry opisujące ruch samolotu w spirali ustalonej

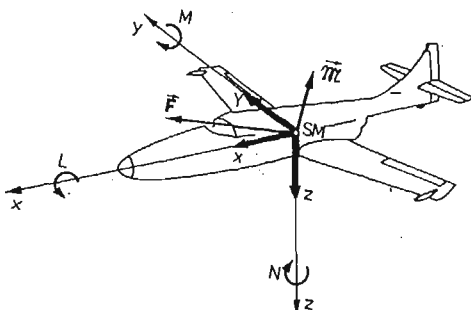
— wektor całkowitej prędkości kątowej $\vec{\Omega}$

$$\vec{\Omega} = P\vec{i} + Q\vec{j} + R\vec{k}, \quad (2)$$

gdzie: P — kątowa prędkość przechylenia samolotu, wokół osi Ox ,

Q — kątowa prędkość pochylania samolotu, wokół osi Oy ,

R — kątowa prędkość odchylenia samolotu, wokół osi Oz ,



Rys. 3. Wektor sił i momentów sił zewnętrznych

Wektory sił i momentów sił zewnętrznych mają następującą postać (rys. 3):

— wektor sił zewnętrznych \vec{F} :

$$\vec{F} = X\vec{i} + Y\vec{j} + Z\vec{k}, \quad (3)$$

gdzie: X — siła podłużna, wzdłuż osi Ox ,

Y — siła boczna, wzdłuż osi Oy ,

Z — siła pionowa, wzdłuż osi Oz ,

— wektor momentów sił zewnętrznych \vec{M} :

$$\vec{M} = L\vec{i} + M\vec{j} + N\vec{k}, \quad (4)$$

$$\frac{1}{1 - \frac{J_{xz}^2}{J_x J_z}} \left[- \left(\frac{J_x - J_y}{J_z} + \frac{J_{xz}^2}{J_x J_z} \right) \frac{V_c^2}{R_s^2} \sin \Theta \cos \Theta \sin \Phi \cos^2 \vartheta_s + \right. \\ \left. - \left(1 - \frac{J_y - J_z}{J_x} \right) \frac{J_{xz}}{J_x} \frac{V_c^2}{R_s^2} \cos^2 \Theta \sin \Phi \cos \Phi \cos^2 \vartheta_s + \right. \quad (23)$$

$$\left. + \frac{1}{J_z} \left(\frac{J_{xz}}{J_x} L^a + N^a - J_T \omega_T \frac{V_c}{R_s} \cos \Theta \sin \Phi \cos \vartheta_s \right) \right] = 0, \\ \vartheta_s = \arcsin(-\sin \Theta \sin \alpha \cos \beta + \sin \Phi \cos \Theta \sin \beta + \\ + \cos \Phi \cos \Theta \sin \alpha \cos \beta), \quad (24)$$

Powyższy układ siedmiu nieliniowych równań algebraicznych z niewiadomymi X

$$X = \text{col}[\alpha, \beta, \Theta, \vartheta_s, \delta_H, \delta_v, \delta_L],$$

możliwy jest do rozwiązania drogą obliczeń numerycznych.

5. Przykład obliczeniowy

Opracowany program obliczeń numerycznych na podstawie danych geometrycznych i masowych samolotu oraz założonych niektórych wielkości charakteryzujących lot samolotu w spirali [1, 5, 11, 14] wyznacza wartości pozostałych nieznanymi wielkości charakteryzujących lot samolotu w spirali ustalonej i wartości wychyleń powierzchni sterowych.

Obliczenia przykładowe wykonano dla poddźwiękowego samolotu odrzutowego TS-11 „Iskra”. Prezentowane przypadki ze względu na ocenę wpływu różnią się od wersji podstawowej jednym wybranym parametrem. Przyjęto następujące standardowe warunki lotu:

$$V_c = 100 \left[\frac{\text{m}}{\text{s}} \right],$$

$$R_s = 500 \text{ [m]},$$

$$\Phi = 40 \text{ [deg]},$$

$$T_0 = 1000 \text{ [N]} \text{ — ciąg jałowy.}$$

Analizę porównawczą przedstawiono dla różnych zmian parametrów lotu (tabela 1.) ciągu silnika (z uwzględnieniem i bez uwzględnienia zjawiska giroskopowego), wysokości lotu (tabela 2.) oraz czynników konstrukcyjnych (tabela 3).

Uzyskane wyniki nasuwają następujące spostrzeżenie ogólne:

- lot samolotu po linii śrubowej charakteryzuje się dużymi kątami przechylenia Φ , pochyleń Θ , ślizgu β i natarcia α (przy czym średni kąt natarcia na płacie jest większy o dwa stopnie od podanego w tabelach, gdyż nie uwzględniono tam kąta zakładowania skrzydła względem osi samolotu),
- większe wartości promienia w spirali powodują, że lot staje się bardziej bezpieczny,

Tabela 1

Wpływ zmian podstawowych parametrów lotu na wartości pozostałych wielkości opisujących ruch samolotu w spirali ustalonej

Wersja	Różnica w stosunku do wersji standart		Parametry sterowania				Parametry lotu							Tor lotu		
	proc. %	ilościowa	δ_H	δ_V	δ_L	α	β	Θ	Ω	P	Q	R	φ_s	ΔH	n_r	
			deg	deg	deg	deg	deg	rd/s	rd/s	rd/s	rd/s	rd/s	rd/s	deg		m
1	2	3	4	5	6	7	8	9	10	11	12	13	14	15	16	
stan- dard																
A	-20% V_c	80 [m/s]	-5,68	56,29	-38,98	7,50	-27,72	-34,06	0,190	0,106	0,101	0,120	18,50	1050	3,6	
B	+20% V_c	120 [m/s]	-7,00	47,73	-32,60	9,19	-23,39	-20,00	0,157	0,054	0,095	0,113	10,12	560	2,6	
C	-10% R_s	450 [m]	-5,38	56,59	-33,93	6,13	-27,96	-43,55	0,215	0,148	0,100	0,120	26,05	1534	4,8	
D	+10% R_s	550 [m]	-6,33	38,18	-44,01	8,71	-28,74	-37,04	0,207	0,125	0,106	0,127	21,23	1097	3,5	
E	+100% R_g	1000 [m]	-5,49	53,83	-34,84	6,80	-26,41	-30,86	0,174	0,089	0,096	0,115	16,30	1009	3,6	
F	+10% Φ	4,4 [deg]	-3,88	22,91	-11,36	3,77	-11,55	-9,37	0,099	0,016	0,063	0,075	4,65	510	3,9	
			-5,65	52,41	-35,28	7,35	-25,75	-31,51	0,192	0,100	0,114	0,118	16,34	918	3,5	

Tabela 2

Wpływ zmian ciągu silnika, wysokości lotu i zjawiska giroskopowego na postać spirali ustalonej i wartości parametrów sterowania

Wersja	Zjawisko giroskopowe	Różnica ilościowa w stosunku do wersji standard	Parametry sterowania			Parametry lotu						Tor lotu			
			δ_H deg	δ_V deg	δ_L deg	α deg	β deg	Θ deg	Ω rd/s	P rd/s	Q rd/s	R rd/s	ϕ_s deg	ΔH m	n_z
1	2	3	4	5	6	7	8	9	10	11	12	13	14	15	16
G	nie uwzględniono	$T = 900$ [N]	-5.67	56.23	-38.85	7.48	-27.68	-34.15	0.189	0.106	0.101	0.120	18,61	1057	3.5
H	nie uwzględniono	$T = 3500$ [N]	-5.82	57.84	-42.22	7.96	-28.58	-31.68	0.192	0.101	0.105	0.125	15.93	893	3.6
J	uwzględniono	Standard	-5.77	56.17	-39.03	7.51	-27.70	-34.03	0.190	0.106	0.101	0.120	18,49	1050	3.5
K	uwzględniono	$H = 1000$ [m]	-6.86	57.43	-42.71	9.31	-28.35	-34.45	0.189	0.107	0.100	0.119	19,26	1096	3.5
L	uwzględniono	$R_s = 1000$ [m]	-4.28	41.78	-21.83	4.08	-20.83	-16.85	0.099	0.028	0.051	0.072	8,93	986	3.9
M	uwzględniono	$T = 3500$ [N]	-5.94	57.68	-42.37	7.97	-28.56	-31.64	0.192	0.101	0.105	0.125	15,92	895	3.6

Tabela 3

Wpływ zmian czynników konstrukcyjnych na postać spirali ustalonej

Wersja	Zmiana czynnika konstrukcyjnego		Parametry sterowania				Parametry lotu							Tor lotu	
	Parametr	%	δ_H deg	δ_V deg	δ_L deg	α deg	β deg	Θ deg	Ω rd/s	P rd/s	Q rd/s	R rd/s	θ_s deg	ΔH m	n_z
1	2	3	4	5	6	7	8	9	10	11	12	13	14	15	16
N	015 X_{zm}		-11,04	56,88	-40,90	7,84	-27,69	-34,17	0,189	0,106	0,101	0,120	18,81	1069	3,5
O	035 X_{zm}		-0,24	55,85	-36,66	7,17	-27,68	-34,10	0,190	0,106	0,101	0,121	18,39	1043	3,5
P	$M = 3800$ [kg]		-9,83	56,82	-48,73	11,67	-27,60	-34,80	0,186	0,106	0,098	0,117	21,33	1225	3,1
R	$M = 2780$ [kg]		-5,31	53,82	-31,58	6,01	-26,37	-33,19	0,190	0,104	0,102	0,122	18,01	1020	3,9
S	$\nu_z = 1^\circ$	-100%	-6,01	56,46	-30,30	7,50	-27,89	-33,94	0,190	0,106	0,101	0,121	18,26	1035	3,5
T	$\nu_z = 3^\circ$	+100%	-5,62	56,15	-47,42	7,65	-27,46	-34,17	0,189	0,106	0,100	0,120	18,90	1074	3,5
U	$X_v = 5,5$ [m]	+4%	-5,67	56,48	-38,92	7,50	-27,73	-34,09	0,190	0,106	0,101	0,120	18,52	1051	3,5
W	$Z_v = 1,84$ [m]	+12%	-5,71	56,29	-39,22	7,51	-27,72	-34,06	0,190	0,106	0,101	0,120	18,51	1059	3,5
Z	$S_v = 2,5$ [m ²]	+11%	-5,67	56,66	-38,94	7,50	-27,71	-34,07	0,190	0,106	0,101	0,120	18,52	1051	3,5

wartości parametrów lotu i sterowania mają mniejsze wartości (dotyczy to zmiennych kątowych),

- obciążenia konstrukcji i przeciążenia działające na pilota opisuje współczynnik obciążenia n_z który osiąga średnie wartości $n_z = 3.5$; przy czym widać, że największy wpływ na jego wartość ma zwiększenie prędkości lotu w spirali,
- wyniki liczbowe wskazują na uzyskane bardzo duże wartości kątów ślizgu i wychyleń powierzchni sterowych (wynika to z przyjętej uproszczonej metody wyznaczania sił i momentów sił aerodynamicznych), odchyłki te nie mają większego wpływu na ogólny charakter zjawiska i umożliwiają poprawną analizę zagadnienia,
- przy analizowaniu czynników konstrukcyjnych należy zwrócić uwagę na wpływ zmian masy i wyważenia samolotu, dotyczy to zwłaszcza samolotów, które mogą być wyposażone w elementy podczepiane pod skrzydłami, gdyż zakres tych zmian ma bardzo duży wpływ na postać spirali ustalonej, wpływ zjawiska giroskopowego na postać spirali ustalonej jest zauważalny, jest on niwelowany większym wychyleniem lotek.

6. Wnioski

Przedstawiona metoda pozwala na ogólne badanie wpływu różnych czynników na postać spirali ustalonej. Istotne przy formułowaniu modelu zjawiska i przyjęciu danych wejściowych jest posiadanie danych empirycznych i właściwe ich uwzględnienie. Szczegółowa analiza teoretyczna zagadnienia przesądza tu więc o uzyskaniu poprawnego rozwiązania.

Przeprowadzone obliczenia numeryczne nasunęły następujące uwagi praktyczne, które mogą mieć zastosowanie do badania innych stanów ustalonych zjawisk fizycznych:

a) uzyskanie rozwiązania numerycznego ułatwia ten sam rząd wartości prawnych stron równań (12-17), w tym celu w przypadku powyższym równanie (14) podzielono przez wartość V_c ,

b) ułatwienie wyboru wielkości (które należy założyć) oraz właściwą analizę zagadnienia umożliwiają zmienne fizyczne, zmienne te należy wprowadzić do modelu matematycznego zjawiska,

c) w przypadku trudności w uzyskaniu rozwiązania należy zastosować bardziej efektywną metodę rozwiązania równań algebraicznych lub potraktować jedną zmienną jako parametr, w przypadku powyższym kąt przechylenia samolotu Φ mógł być korygowany. Prezentowana metoda obliczeń umożliwia łatwą analizę zagadnienia i może mieć zastosowanie we wstępnym etapie badań. Świadczą o tym uzyskane wyniki zgodne z badaniami w locie. Istnieje możliwość zastosowania tej metody do analizy innych stanów ustalonych oraz wyznaczenia punktu równowagi, co z kolei pozwala na badanie małych drgań wokół położenia równowagi.

Literatura

1. A. ABLAMOWICZ, *Akrobacja lotnicza*, MON Warszawa 1954.
2. B. ETKIN, *Dynamics of atmospheric flight*, John Wiley, New York 1972.
3. W. FISZDON, *Mechanika lotu. Część I i II*, PWN Łódź—Warszawa 1961.

4. R. GUTOWSKI, *Równania różniczkowe zwyczajne*, WNT Warszawa 1971,
5. *Instrukcja techniki pilotowania i zastosowanie bojowe samolotu TS-11 „Iskra”*, MON Poznań 1973.
6. J. LEGRAS: *Praktyczne metody analizy numerycznej*, WNT Warszawa 1974.
7. J. MARYNIAK, *Dynamiczna teoria obiektów ruchomych*, Prace naukowe Politechniki Warszawskiej Mechanika Nr 32 WPW Warszawa 1976.
8. J. MARYNIAK, W. BLAJER, *Numeryczna symulacja korkociągu samolotu*, Mechanika Teoretyczna i Stosowana, Zeszyt 2/3, Tom 21, Warszawa 1983.
9. J. MARYNIAK, Z. GORAJ, E. T. DĄBROWSKA, *Modelowanie i badanie własności dynamicznych samolotów w ruchu przestrzennym*, IV Konferencja Naukowo-Techniczna ITL WAT Warszawa 1979, Referat problemowy.
10. *Military Specification Flying Qualities of Piloted Airplanes-MIL-F-8785 B(ASG)* August 1969.
11. J. TRAJER, *Modelowanie i badanie własności dynamicznych poddźwiękowego samolotu odrzutowego w sterowanym ruchu spiralnym*, Praca doktorska, Politechnika Warszawska Warszawa 1983.

Р е з ю м е

ЧИСЛЕННЫЙ АНАЛИЗ ПАРАМЕТРОВ ПОЛЁТА И УПРАВЛЕНИЯ
САМОЛЁТА В УСТАНОВИВШЕМСЯ СПИРАЛЬНОМ ДВИЖЕНИИ

Самолёт принято как механическую жёсткую систему с шестью степенями свободы. Влияние отклонений рулевых поверхностей: рулёв высоты и рулёв направления а также элеронов принято как параметрическое действие аэродинамических сил и моментов сил.

Уравнения установившегося спирального движения самолёта выведено из полных уравнений пространственного движения самолёта. Примерно для самолёта класса TS-11 „Iskra” вычислено параметры равновесия в спирали.

S u m m a r y

NUMERICAL ANALYSIS OF AIRPLANE FLIGHT AND CONTROL PARAMETERS
IN A STEADY SPIRAL MOTION

In the paper a numerical analysis is presented of airplane flight control parameters in a steady spiral motion.

The airplane is assumed to be a stiff, mechanical object with six degrees of freedom. The deflections of control surfaces, i.e. ailerons, rudder and elevator have parametric influence only on the values of aerodynamic forces and moments.

The equations of airplane steady spiral motion are based on full airplane space equations of motion. A set of seven non-linear algebraic equations is obtained which allow us to determine the equilibrium.

In order to investigate the problem under study a numerical model is applied. A numerical analysis of motion in subsonic TS-11 „Iskra” jet aircraft is presented.

Praca wpłynęła do Redakcji dnia 26 września 1985 roku